

МИНИСТЕРСТВО ТРАНСПОРТНОГО СТРОИТЕЛЬСТВА

ГЛАВТРАНСПРОЕКТ

ЛЕНГИПРОТРАНСМОСТ

ТИПОВЫЕ КОНСТРУКЦИИ

СЕРИЯ

СБОРНЫЕ ПРОЛЕТНЫЕ СТРОЕНИЯ ИЗ
ПРЕДВАРИТЕЛЬНО НАПРЯЖЕННОГО
ЖЕЛЕЗОБЕТОНА ДЛИНОЙ 16,5-27,6М
ДЛЯ ЖЕЛЕЗНОДОРОЖНЫХ МОСТОВ.

Выпуск 4. ПРОЛЕТНОЕ СТРОЕНИЕ
ДЛИНОЙ 23,6М.

ПРОЕКТ УТВЕРЖДЕН
ПРИКАЗОМ МПС
ОТ 20 ЯНВАРЯ 1975г ЗА НА-1586
И ВВЕДЕН В ДЕЙСТВИЕ
С 1 АПРЕЛЯ 1975г.

Инв. № 556/14-1.

ЛЕНИНГРАД
1974г.

Инд. №
229661
Шифр
1635

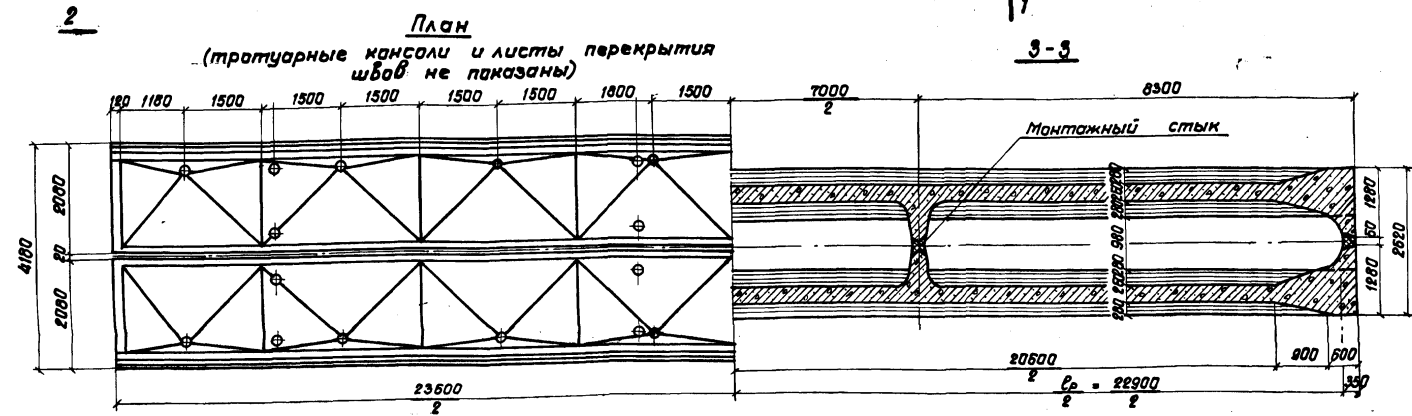
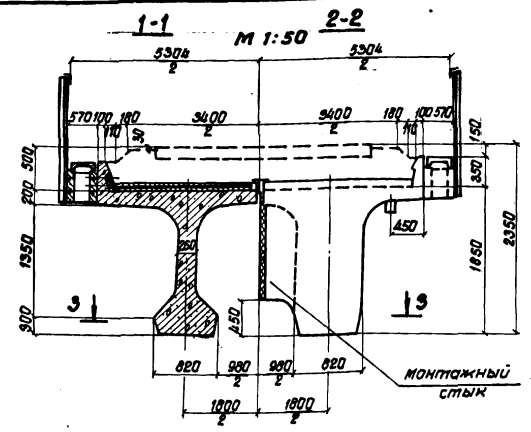
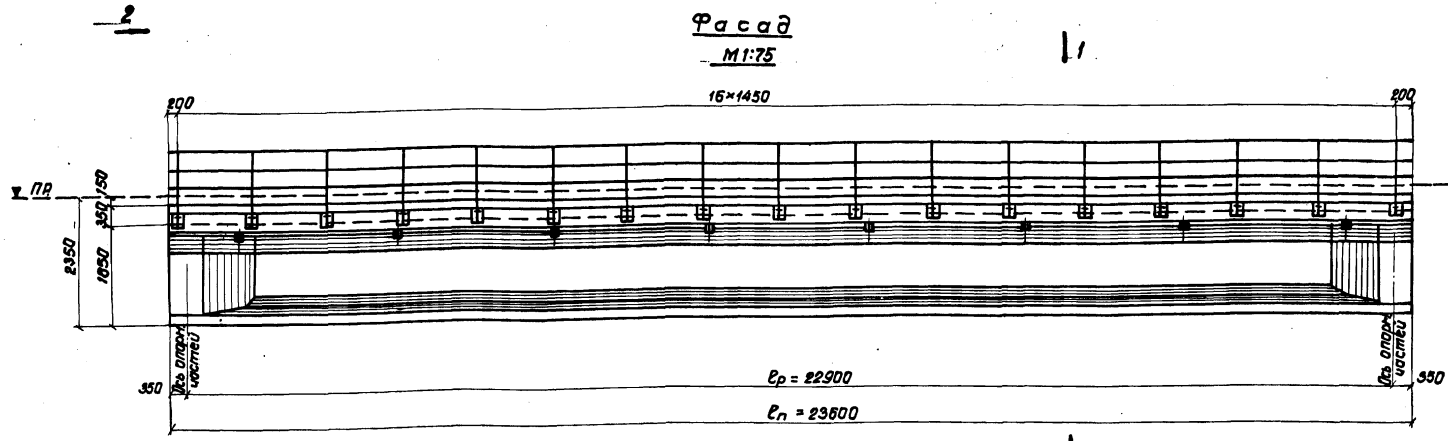
Главный инженер проекта Шмидт - Смоленцев

№ листа	Наименование	№ стр.	Инд. №	
1	Общий вид	3	229662	
2	Опалубочный чертеж балки	4	229663	
3	Опалубочный чертеж балки (продолжение)	5	229664	
4	Арматурный чертеж балки	6	229665	
5	Арматурный чертеж балки (продолжение)	7	229666	
6	Арматурный чертеж балки (продолжение)	8	229667	
7	Арматурный чертеж балки. Спецификация.	9	229668	
8	Арматурный чертеж балки. Спецификация. (продолжение)	10	229669	
9	Детали оттяжки.	11	229670	
10	Торцевая диафрагма. Арматурный чертеж.	12	229671	
11	Торцевая диафрагма. Монтажный стык.	13	229672	
12	Промежуточная диафрагма. Арматурный чертеж.	14	229673	
13	Промежуточная диафрагма. Монтажный стык.	15	229674	
14	Пролетное строение для мостов на кривых участках пути R 600	Арматурный чертеж балки	16	229675
15		Арматурный чертеж балки (продолжение)	17	229676
16	Расчетный лист	18	229677	
17	Расчетный лист (продолжение)	19	229678	
18	Расчетный лист (продолжение)	20	229679	
19	Пролетное строение мостов на кривых участках пути R 600	Расчетный лист	21	229680
20	Расчетный лист. Расчет на кручение.	22	229681	
21	Расчетный лист. Расчет на местные напряжения.	23	229682	
22	Расчетный лист. Расчет плиты и диафрагмы.	24	229683	

Ленгипротрансмаст
г. Ленинград

Типовые конструкции разработаны в соответствии с действующими нормами и правилами и предусматривают меры защиты, обеспечивающие взрывопожаробезопасность при эксплуатации сооружения.
Гл. инженер Шмидт - Смоленцев

ТК 1974 г.	Сборные пролетные строения из предварительно напряженного железобетона длиной 16,5-27,6 м для железнодорожных мостов. Пролетное строение длиной 23,6 м	556/14-3
	Содержание	



Строительная высота в пролете и высота опорных частей

N п/п	Наименование	h, мм
1	Строительная высота в пролете от подошвы рельса до низа конструкции	2350
2	Высота опорной подвижной части	805
3	Высота опорной неподвижной части	505

Объемы основных работ (на пролетное строение)

N п/п	Наименование	Ед. изм.	Колич.
1	Железобетон	Балок	м ³ 61,7
		Приставных консолей	м ³ 0,92
		Тротуарных плит	м ³ 1,57
		Омоноличивания	м ³ 0,14
	Итого	м ³ 64,33	
2	Арматура	Напрягаемая класса В-II	т 3,88
		Ненапрягаемая класса А-II	т 4,64
		Итого	т 10,25
3	Металл анкерных устройств и закладных частей	т	4,46
4	Металлические листы перекрытия швов	т	0,26
5	Металлические перила и настил для коммуникаций	км/т	47,2/1,71
6	Стальные опорные части	т	2,41
7	Изоляция	м ²	103,0
8	Бетонная подготовка и защитный слой	м ³	5,16
9	Водоотводные трубки	компл.	16
10	Трубки для пропуска строп	шт.	1216
11	Вес балки с изоляцией	т	82,9

Примечания:

- Проект пролетного строения предназначен для мостов и путепроводов, сооружаемых в районах с расчетной температурой минус 40°С и выше.
- Проект выполнен с учетом требований: СНиП II-Д.7-62* с дополнениями 1971г и указанных по проектированию железобетонных и бетонных конструкций железнодорожных, автомобильных и городских мостов и труб (СН365-67).
- Нормативная временная нагрузка $s_{1k} = -3,501-26$.
- Опорные части приняты по проекту Инв.Н.577 и дополнению к нему (проект Инв.Н.577/1) - 3.501-74.
- Общий вид пролетного строения приведен для мостов и путепроводов, расположенных на прямых участках пути. Форма балластного корыта для прямых и кривых участков пути приведена в общей части, выпуск 1. Дополнительное армирование балок для кривых участков пути радиусом ≥ 600 м приведено на листах 14, 15.
- Напряжение арматурных пучков производится на уторе. Отпуск натяжения пучков производится при достижении бетоном прочности не менее 340 кг/см^2 , контролируемой испытанием образцов, хранящихся вместе с блоком пролетного строения.
- Первые экземпляры железобетонных консолей (тротуарных и консолей убежищ) должны быть проверены на прочность и технологичность крепления испытанием.
- Изготовление пролетных строений должно производиться в условиях, обеспечивающих высокое качество продукции. Пролетные строения должны поставаться на место установки комплектно с тротуарными консолями, тротуарными плитами, перилами, консолями и плитами убежищ и т.д.
- Гидроизоляция балластного корыта должна выполняться на заводе.
- Схемы расположения пролетных строений на кривых участках пути приведены на листах 35, 36, 37, общей части.

ТК Сборные пролетные строения из предварительно напряженного железобетона длиной 165-27,6м для железнодорожных мостов. Пролетное строение длиной 23,6 м

Шифр 663
Шифр 1635

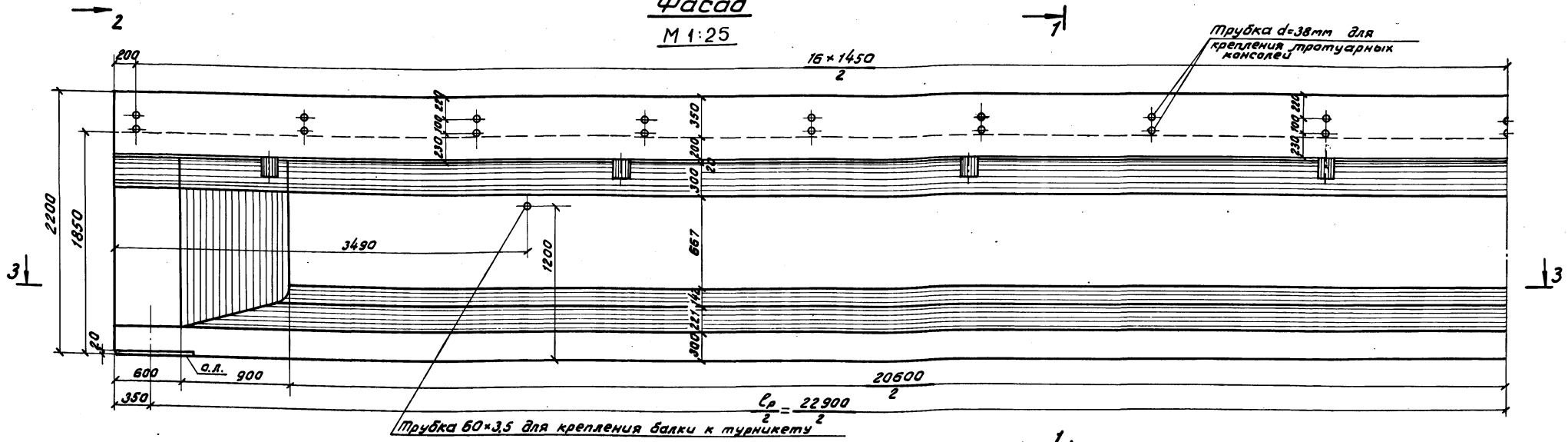
Проект отректирован в 1974 г.

Коллежский
Смоленцев
Ленина
Сенько

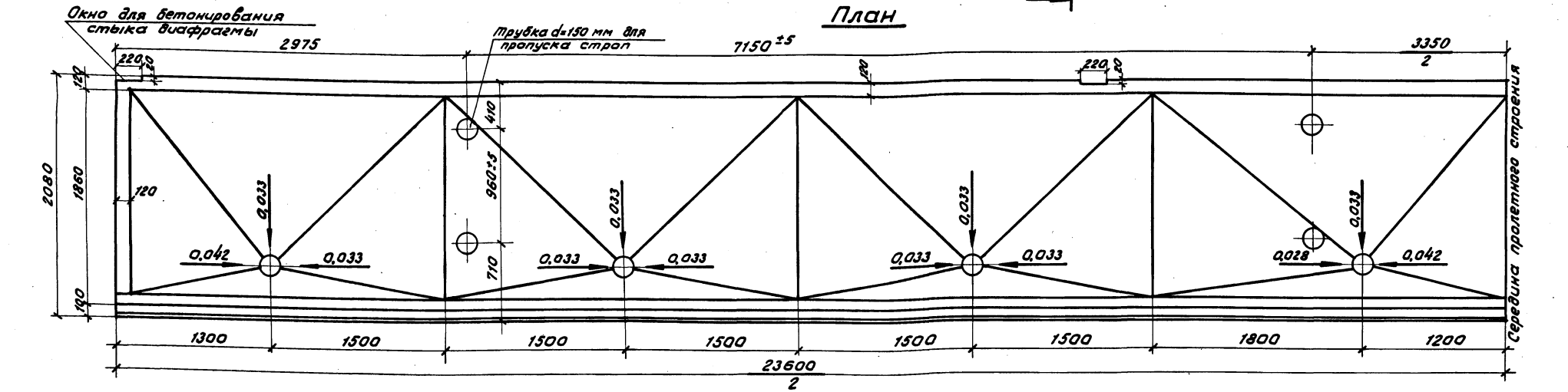
Ленинград
е. Ленинград

Фасад

М 1:25



План



Примечания:

1. Продолжение опалубочного чертежа см. на листе 3.
2. Расположение строповых отверстий приведено при строповке кранами ГЭК-130 и ГЭК-80 с унифицированными строповочными приспособлениями.

ТК Сборные пролетные строения из предварительно напряженного железобетона длиной 16,5-27,6 м для железнодорожных мостов. Пролетное строение длиной 23,6 м
1974. Опалубочный чертеж балки

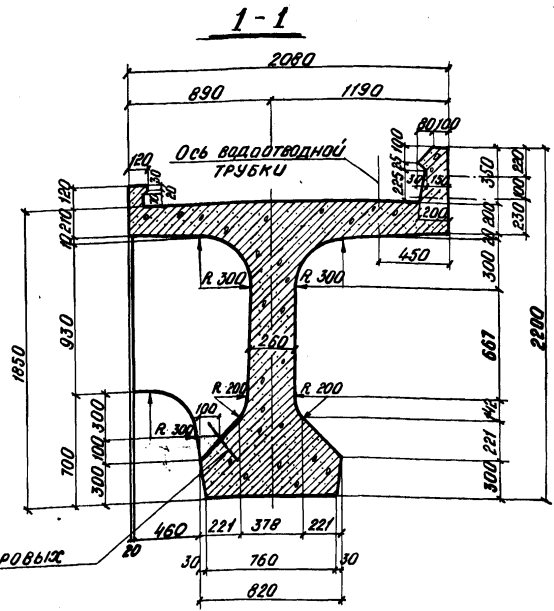
556/14 - 5
Выпуск 4 Лист 2

Изм. № 229 664
Шифр 16.35

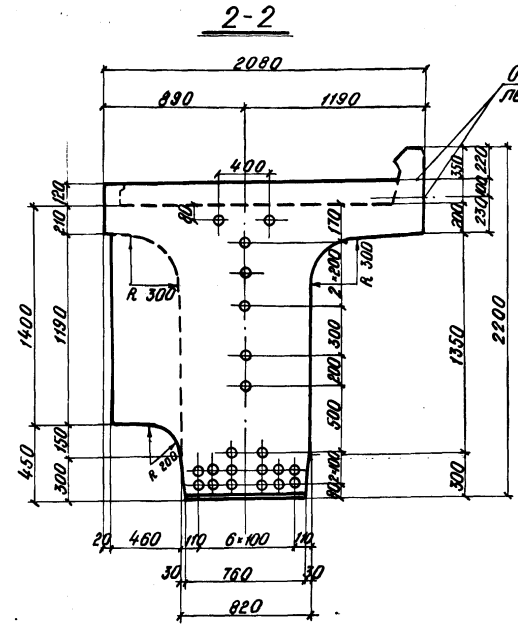
Проект аткорректирован в 1974г.

Артемюков	п.п.
Валуйский	п.п.
Степанцев	п.п.
Ламин	п.п.
Семько	п.п.

Ленгилпротранс
г. Ленинград

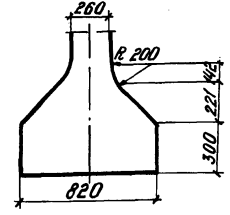


М1:25



Оси отверстий для прикрепления тротуарных консолей

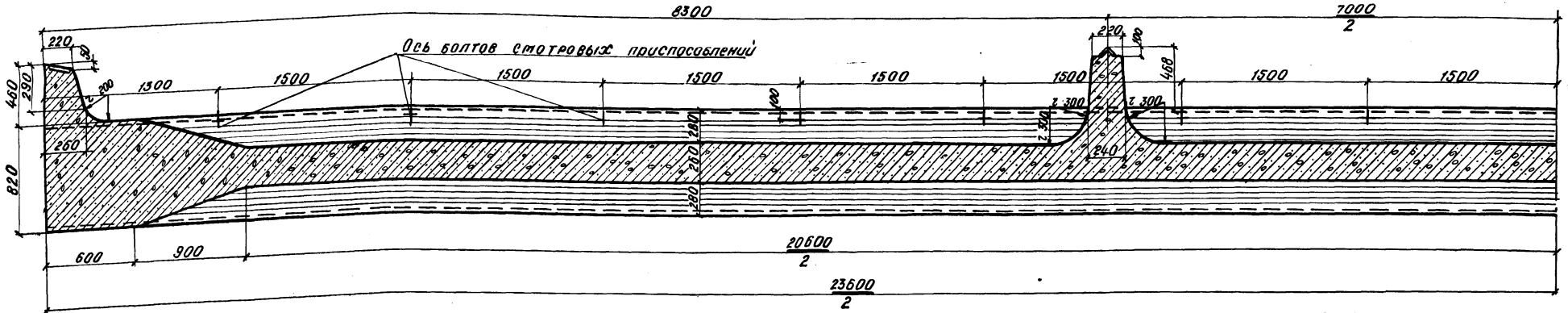
Вариант сечения нижнего пояса при бетонировании с применением виброподдона



Объем бетона одного блока увеличивается на 0,21 м³

Ось болтов смотровых приспособлений

3-3



Примечания:

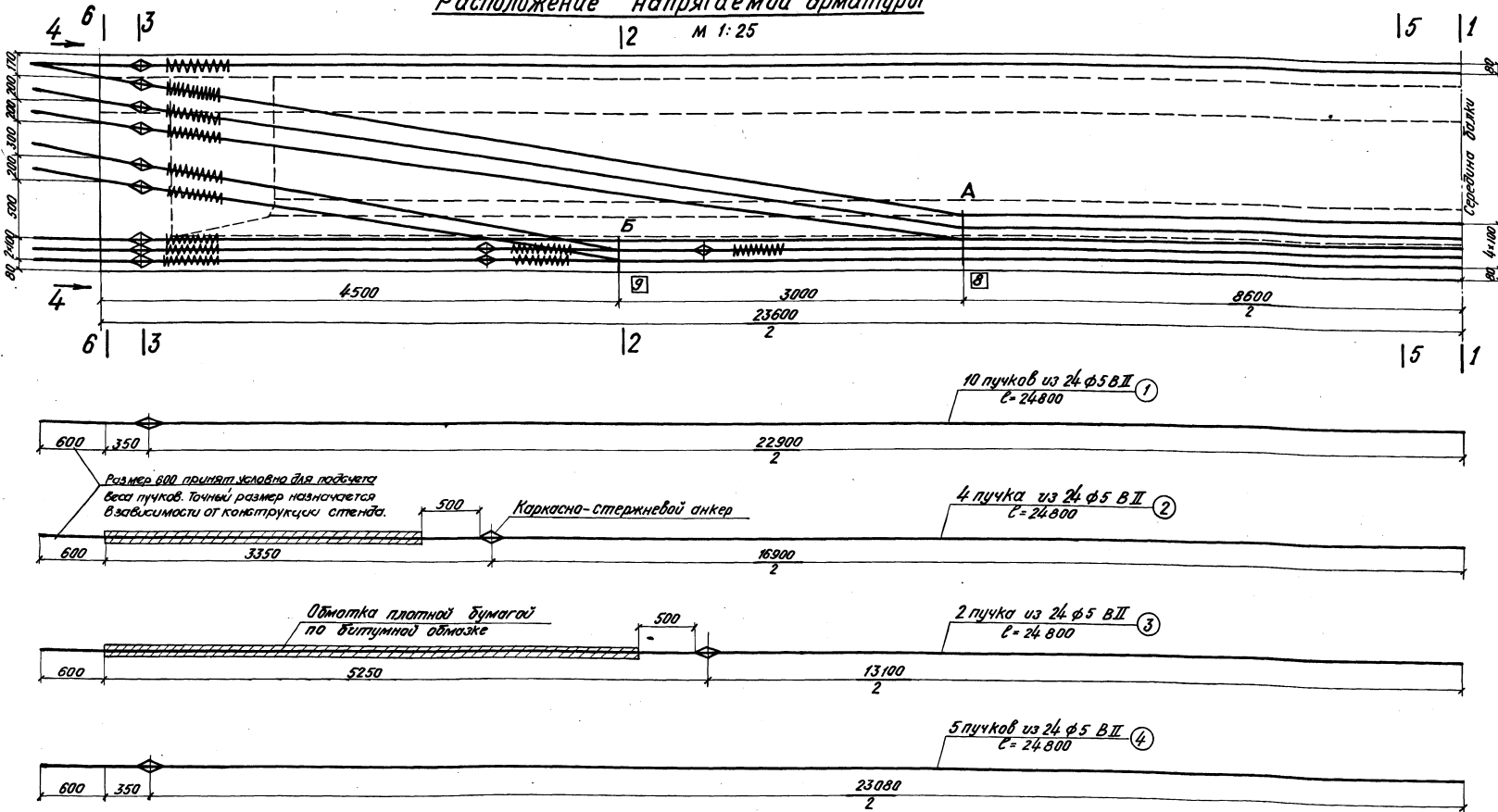
1. На настоящем листе и листе 2 приведен опалубочный чертеж пролетного строения $Sp=23,6$ м для мостов и путепроводов на прямых участках пути. Дополнительные опалубочные размеры наружного бортика пролетного строения для кривых участков пути радиусом $R \geq 600$ м приведены на листах 14, 15.
2. Дополнительные опалубочные размеры при расположении пролетных строений на кривых участках пути приведены на листах 35, 36, 37. Общей части.
3. Марка бетона - 400.
4. Закладные детали (трубки для болтов крепления тротуарных консолей, опорные листы и др) приведены в общей части.
5. Перевозка пролетного строения осуществляется в соответствии с проектом павузки и перебазки железобетонных пролетных строений на железнодорожном подвижном составе, шифр 903, проектировки Ленгилпротрансмоста, 1968 г. (Кольки находятся в Ленгилпротрансмосте).
6. Должасется применять на убежищах плиты ПУ-1 и ПУ-2 при условии, что увалки поз. 29 и 30 (см. лист 28, 29) должны быть заменены уголками 125*80*8 поз. 29* и 30* для увязки см. лист 2.

ТК	Сборные пролетные строения из предварительно напряженного железобетона длиной 16,5-27,6 м для железнодорожных мостов. Пролетное строение длиной 23,6 м
1974.	Опалубочный чертеж балки (продолжение).

556/14-6
Витсен 4
Лист 3

Расположение напрягаемой арматуры

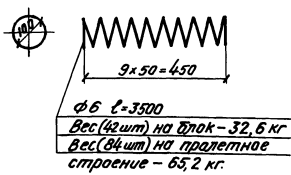
М 1:25



Спецификация стальной проволоки $R_n = 170000 \text{ МПа}$ для арматурных пучков

N пучков	Диаметр проволоки мм	Количество проволок в пучке шт.	Количество пучков в балке шт.	Длина пучка м	Масса 1м ³ одной проволоки кг	Масса проволоки в одном пучке кг	Общая масса (кг)	на одну балку	на прелетное строение
1, 2, 3	5	24	16	24,80	0,154	91,7	1467,0	2934,0	
4	5	24	5	24,98	0,154	92,1	461,0	922,0	
Итого							1928,0	3856,0	

Спираль



Примечание

Для узязки см. листы 5, 10, 12

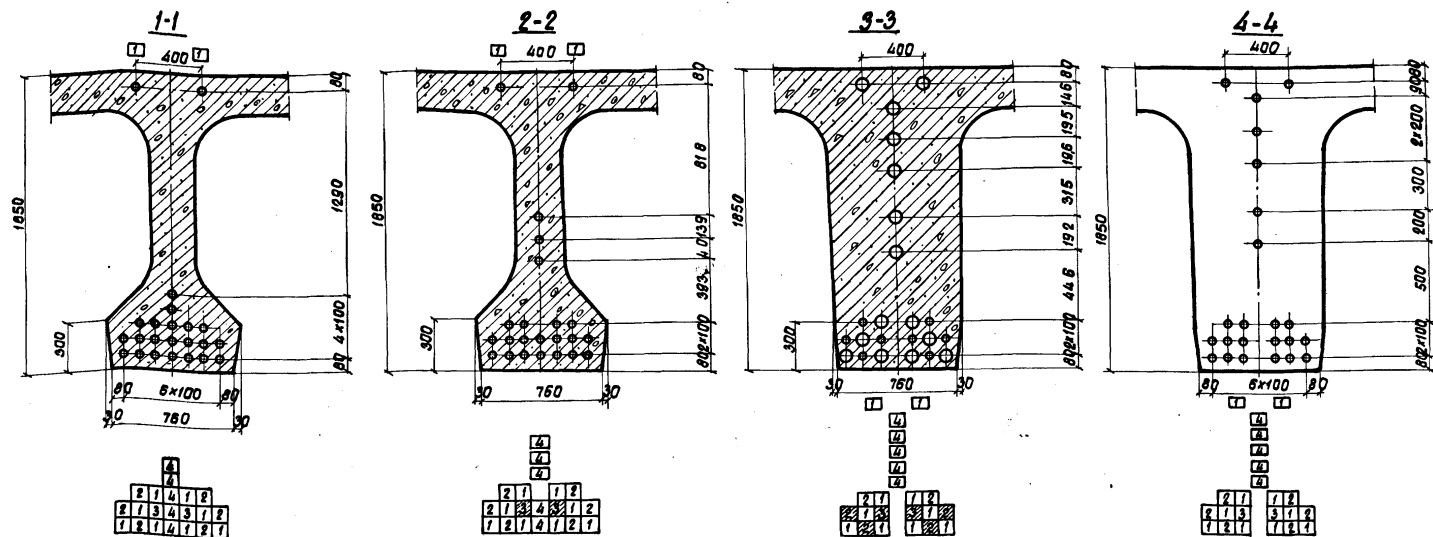
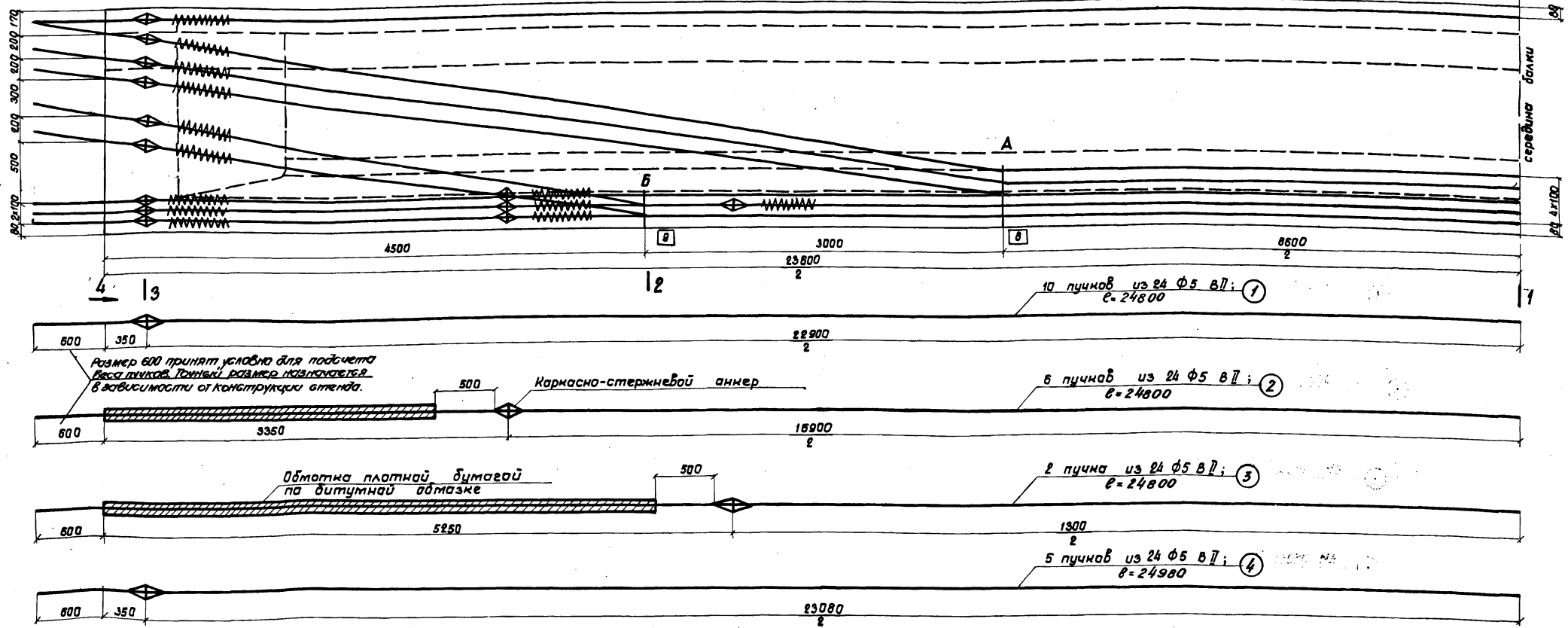
ТК Сборные прелетные строения из предварительно напряженного железобетона длиной 16,5-27,6 м для железобетонных мостов. Прелетное строение длиной 23,6 м
1974г. Арматурный чертёж балки.

556/4-7
Выпуск 4

Проект авторский в 1974г.
 Исполнитель: [Blank]
 Проверено: [Blank]
 Утверждено: [Blank]
 Дата: [Blank]

Проект откорректирован в 1974г.
 1. И.Б.М. 229675 Шифр 1635
 Нач. отд. пр. п.п. Артамонов
 Т.И.И.К. п.п. Голыцин
 Р.И.И.В. п.п. Селевничъ
 П.И.И.В. п.п. Корзон
 П.И.И.В. п.п. Павлова
 И.И.И.В. п.п. Исаакич
 Нач. отд. пр. п.п. Валентинов
 И.И.И.В. п.п. Успенский
 И.И.И.В. п.п. Степанов
 И.И.И.В. п.п. Якупович
 И.И.И.В. п.п. Сиверин
 И.И.И.В. п.п. Горбачев
 И.И.И.В. п.п. Горбачев
 Ленинград
 г. Ленинград

Расположение напрягаемой арматуры
| 2 (внутренняя балка) |



Спецификация стальной проволоки $R_m = 17000 \text{ кг/см}^2$ для арматурных пучков

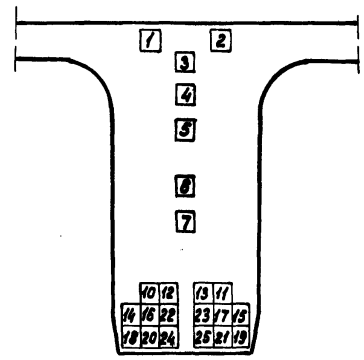
№ пучков	Диаметр провол. мм	Кол-к провол. в пучке шт.	Кол-к пучков в балке шт.	Длина пучка м	Вес (п.м. одной провол.) кг	Вес провол. в одном пучке кг	Общий вес кг на одну балку на прол. строен.
1, 2, 3	5	24	18	24,80	0,154	91,7	1651
4	5	24	5	24,98	0,154	92,1	461
Итого							2112

Примечание.

1. Для узязки см. лист 15.

ТК Сварные пролетные строения из предварительно напряженного железобетона длиной 16,5-27,6 м для железнодорожных мостов. Пролетное строение длиной 29,6 м.
 1974г. Пролетное строение для мостов на кривых участках пути $R 600 \text{ м}$
 Арматурный чертеж балки

Порядок передачи усилия предварительного напряжения на балку.



№ п/п	Наименование	Порядковые № п/п передачи усилия	
1	Отпуск натяжения верхних пучков	1-2	
2	Отпуск натяжения (на торцах) полигональных пучков	3-7	
3	Отпуск натяжения оттяжек полигональных пучков	А	8-8'
		Б	9-9'
4	Отпуск натяжения нижних прямолнейных пучков	10-25	

Контролируемые монтажные напряжения в пучках и усилия в домкратах.

Наименование и № пучков	Кол-во пучков в блоке	Кол-во пучков в блоке	Площадь сечения пучков F _п см ²	Контролируемые напряжения в арматурных пучках кг/см ²	Монтажные усилия в домкратах (т)		Удлинение пучка ΔL = $\frac{\sigma \cdot S_p}{E_d}$ см	Усилия в оттяжках (т)	
					При одновременном натяжении всех пучков	При натяжении одного пучка		А	Б
Верхние прямолнейные пучки №1	24	2	9,4	7000	—	32,9	9,7	—	—
Полигональные пучки №	24	5	23,5	10500	—	49,5	14,5	21,9	14,1
Нижние прямолнейные пучки	24	16	75,2	10200	76,70	48,0	14,1	—	—

*) Изготовление блоков предусмотрено в формах и кассетах, подвергающихся нагреву вместе с блоком (не учтены потери от температурного перепада). Потери от обжатия упорных устройств следует учитывать применительно к конструкции стенда.

Контролируемые монтажные напряжения в пучках и усилия в домкратах.

Наименование пучков	№ п/п	Кол-во пучков в блоке	Площадь сечения пучков F _п см ²	Контролируемые напряжения в арматурных пучках	Монтажные усилия в домкратах т		Удлинение пучка ΔL = $\frac{\sigma \cdot S_p}{E_d}$ см	Усилия в оттяжках, т	
					При одновременном натяжении всех пучков	При натяжении одного пучка		А	Б
Верхние прямолнейные пучки	1	26	10,2	7100	72,5	36,2	9,8	—	—
Полигональные пучки	4	26	25,5	10250	262,0	52,4	14,2	23,8	15,3
Нижние прямолнейные пучки.	1,23	26	81,6	10100	820,0	51,3	13,9	—	—

*) В таблице монтажных усилий в пучках приведены контролируемые напряжения в пучках при изготовлении блоков в стационарных стендах (с учетом потерь от температурного перепада).

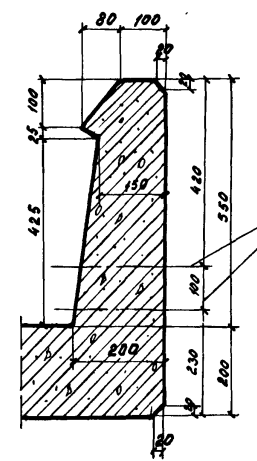
Примечания:

1. На листе приведен арматурный чертеж внутренней балки пролетного строения для мостов, расположенных на кривых участках пути радиусом 600-1200 м, а радиусами более 1200 м для стальной арматуры; чертеж приведен на листах 4 и 5.
2. Марка бетона - 400.

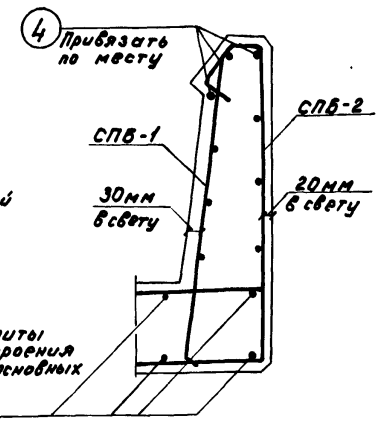
Повышенный бортик (наружная балка) М1-10

Опалубочный чертеж.

Армирование.



Оси отверстий для крепления тротуарных консолей



Арматура плиты пролетного строения приведена на основных арматурных чертежах

Спецификация арматуры на 1м повышенного бортика

Наименование арматуры	Марка арматуры и л. л.	Эскиз	№ поз	Материал	Количество		Длина		Выборка арматуры на элемент			
					на сетку	на элем.	шт	Общая м	Диаметр мм	Общая длина м	Общая масса кг	
СПБ-1	1шт		1	ВСт3сп2 ГОСТ380-71	8A I	3	3	1000	3,0	φ12A I	3,0	2,7
			2	ВСт5сп2 ГОСТ380-71	10A I	10	10	785	7,9	φ10A I	7,9	4,9
Масса сетки - 6,1 ке										Итого	Класс А-1	7,8
СПБ-2	1шт		1	ВСт3сп2	8A I	3	3	1000	3,0			
			3	ГОСТ380-71	8A I	5	5	880	4,4			
			Масса сетки - 2,9 ке									
Отдельные стержни	4	ВСт5сп2 ГОСТ380-71	12A I	3	3	1000	3,0					

*) Длина сеток СПБ-1 и СПБ-2 назначается по месту в зависимости от радиуса кривой (см листы 35-37. Общей части, выпуск).

3. Натяжение арматурных пучков производится на упоры стенда. Отпуск натяжения арматурных пучков производится при достижении бетоном прочностью не менее 360 кг/см².

4. Армирование балки ненапрягаемой арматурой, армирование диафрагм см. на листах 6,7,8,10,12.

5. Закладные части (трубки для болтов крепления тротуарных консолей, опорные листы и др.) приведены в Общей части.

6. Для увязки см. лист 14, Выпуск 4 и листы 34-37 Общей части.

Инв. № 229 676 Шифр 1835
 Проект, отрецензирован в 1974г.
 Автор: Л. П. Голышев, А. П. Селезнева, В. П. Стрелова, В. П. Волынов, Р. П. Зинин, В. П. Козлов, В. П. Мухоморов, В. П. Павлов, В. П. Петров, В. П. Попов, В. П. Рязанский, В. П. Сидоров, В. П. Тихонов, В. П. Федотов, В. П. Чернышев, В. П. Шварц, В. П. Яковлев.
 Проверил: В. П. Голышев, В. П. Селезнева, В. П. Стрелова, В. П. Волынов, В. П. Зинин, В. П. Козлов, В. П. Мухоморов, В. П. Павлов, В. П. Петров, В. П. Попов, В. П. Рязанский, В. П. Сидоров, В. П. Тихонов, В. П. Федотов, В. П. Чернышев, В. П. Шварц, В. П. Яковлев.
 Испытания: В. П. Голышев, В. П. Селезнева, В. П. Стрелова, В. П. Волынов, В. П. Зинин, В. П. Козлов, В. П. Мухоморов, В. П. Павлов, В. П. Петров, В. П. Попов, В. П. Рязанский, В. П. Сидоров, В. П. Тихонов, В. П. Федотов, В. П. Чернышев, В. П. Шварц, В. П. Яковлев.
 Ленинград г. Ленинград
 Ленгипротранс
 1974г

556/14-18

ТК	Сборные пролетные строения из предварительно напряженного железобетона длиной 16,5-27,6 м для железнодорожных мостов. Пролетное строение длиной 23,6 м	
1974г	Пролетное строение для мостов на кривых участках пути R 600. Арматурный чертеж балки (продолжение)	Выпуск 4 Лист 15

Проект скорректирован в 1974 г.
 Архитектор: [Имя]
 Инженер: [Имя]
 Проверил: [Имя]
 Утвердил: [Имя]
 Дата: [Дата]

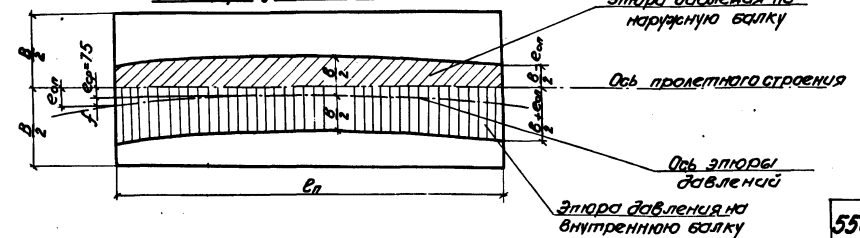
№№ п/п	Наименование	Формулы и обозначения	Узм.	$\epsilon_n = 23,6\text{м}$	
1	Минимальное расстояние от низа шпалы до поверхности плиты	h	см	27	
2	Возвышение наружного рельса	Δh	"	15	
3	Ширина распределения временной нагрузки	$\beta = 270 + h - \frac{270}{2 \cdot 160} \cdot \Delta h$	"	309,6	
4	Величина нормального давления	$q = \frac{P}{\beta}$	кг/см ²	5,75	
5	Стрелка для радиуса кривой $R = 600\text{м}$	$f = \frac{R^2}{8L}$	см	11,6	
6	Смещение оси эпоксы давления в середине пролета	e_0	"	7,5	
7	Смещение оси эпоксы давления на опоре	e	"	19,1	
8	Нормативный изгибающий момент от временной нагрузки	в наружной балке	$M_n = \frac{q \cdot \beta^2 \cdot (3\beta + 5f - 6e)}{8}$	тм	54,6
		во внутренней балке	$M_i = \frac{q \cdot \beta^2 \cdot (3\beta - 5f + 6e)}{8}$	"	61,9
9	Изгибающий момент в середине пролета при расчете на прочность	$M_c = \frac{q \cdot \beta^2 \cdot (4 \cdot \beta \cdot \epsilon_n + 3 \cdot f \cdot \epsilon_n)}{16}$	"	1371	
Расчет на прочность					
10	Положение ц.т. нижней напряженной арматуры	a_n	см	19,5	
11	Рабочая высота сечения	$h_0 = h - a_n$	"	165,5	
12	Количество и площадь сечения нижней напряженной арматуры	η / F_n	шт/см ²	16 / 75,2	
13	Количество и площадь сечения нижней полигональной арматуры	$\eta / F_{но}$	"	5 / 23,5	
14	Площадь сечения верхней напряженной арматуры	η / F'_n	"	2 / 9,4	
15	Расчетное напряжение в верхней арматуре	$\sigma_s = (R_{нс} - 1,16 \cdot h)$	кг/см ²	3000	
16	Высота сжатой зоны бетона	$x = \frac{R_{нс} F_n - \sigma_s F'_n}{R_{нс} \cdot \beta}$	см	22,0	
17	Максимальный изгибающий момент в сжатой зоне бетона	$M_{сж} = \beta \cdot x \cdot (h_0 - \frac{x}{2}) \cdot F_n + \sigma_s (h_0 - a_n) F'_n$	тм	1403,2	
18	Отношение моментов	$M > M_{сж}$		1403,2 / 1371	
Расчет на трещиностойкость в эксплуатационный период					
19	Величина предварительного напряжения	в нижних пучках	σ_n	кг/см ²	8000
		в полигональных пучках	$\sigma_{но}$	кг/см ²	8000
		в верхних пучках	σ'_n	"	6000
20	Нормальная сила предварительного напряжения	$N_{пр} = \sigma_n \cdot F_n + \sigma_{но} \cdot F_{но} - \sigma'_n \cdot F'_n$	т	845,4	
21	Изгибающий момент предварител. напряжения	$M_{пр}$	тм	622,6	
22	Напряжения от внешних нагрузок	от внешних нагрузок	$\frac{M}{W_{нп}}$	кг/см ²	18,95
23		от предварительного натяжения	σ_s	кг/см ²	191,4
24	Проверка	$\frac{M}{W_{нп}} - \sigma_s \leq 0$		-1,9 < 0	
Расчет на трещиностойкость в монтажный период					
25	Напряжения в арматуре передовые на бетон	нижней арматуре	$\sigma_{нс}$	кг/см ²	9390
		полигональной арматуре	$\sigma_{но}$	"	9690
		верхней арматуре	$\sigma_{нс}'$	"	6680
26	Нормальная сила предварительного напряжения	N_n	т	997,0	
27	Изгибающий момент предварител. напряжения	M_n	тм	740,3	

№№ п/п	Наименование	Формулы и обозначения	Узм.	$\epsilon_n = 23,6\text{м}$
1. На стойкость против образования продольных трещин				
28	Напряжения в бетоне от предварительного напряжения по нижней грани	$-\frac{N_n}{F_n} - \frac{M_n}{W_{нп}}$	кг/см ²	-226,3
29	Напряжения в бетоне от собственного веса по нижней грани	$\Delta \sigma_s$	"	45,5
30	Суммарное напряжение в бетоне по нижней грани	$\sigma_{нп} = \frac{N_n}{F_n} - \frac{M_n}{W_{нп}} + \Delta \sigma_s$	кг/см ²	-180,8
31	Приведенная толщина обжимаемого пояса	$h_{пнп}$	см	48
32	Напряжения в бетоне на уровне приведенной толщины обжимаемого пояса	$\sigma_{бпнп}$	кг/см ²	-135,8
33	Разница в величинах напряжений	$\frac{M_n \cdot \sigma_{бпнп} - \sigma_{бпнп} \cdot 100}{\sigma_{бпнп}}$	%	25
34	Суммарное напряжение в бетоне с учетом воздействия стесненной усадки бетона	$1,1 \sigma_{бпнп}$	кг/см ²	-198,5
35	Расчетное сопротивление бетона сжатия к моменту сжатия бетона при достижении бетоном 30% кубиковой прочности	$R = 0,90 \cdot \frac{R_{сж} \cdot (R_{сж} + 10)}{15}$	кг/см ²	-199,0
36	Проверка	$1,1 \sigma_{бпнп} \leq R$	"	198,5 < 199,0
2. На стойкость против образования поперечных трещин				
37	Напряжения в бетоне от предварительного напряжения по верхней грани	$-\frac{N_n}{F_n} + \frac{M_n}{W_{оп}}$	кг/см ²	28,0
38	Напряжения в бетоне от собственного веса по верхней грани	$\Delta \sigma_s'$	"	35,8
39	Проверка	$-\frac{N_n}{F_n} + \frac{M_n}{W_{оп}} - \Delta \sigma_s' \leq 0$	"	-7,8 < 0

Примечания:

- Расчет пролетного строения произведен на действие временной нагрузки С-14 с учетом перегруза при расположении пролетного строения на кривой $R = 600\text{м}$.
- Смещение оси эпоксы давления относительно оси пролетного строения в сторону внутреннего рельса в середине пролета принята 7,5 мм, что соответствует смещению оси пути в сторону внутреннего рельса в середине пролета 130 мм.

Эпока давления на внутреннюю и наружную балки

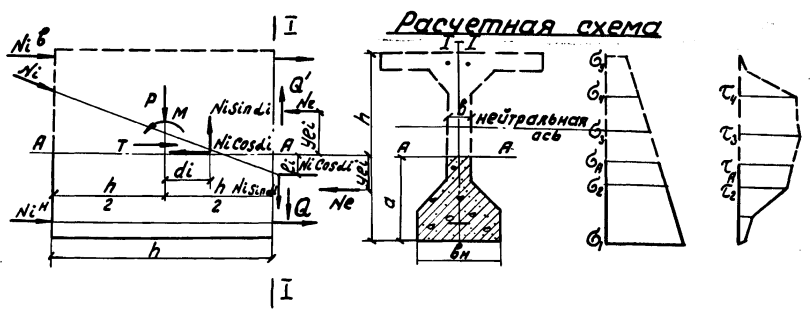


Шифр 222582
Шифр 1635

Проект откорректирован в 1974г.
Исполнитель: Правительственный комитет по строительству железных дорог
Исполнитель: Ленинградский институт инженеров железнодорожного транспорта им. Ф. М. Селиванова

Ленинградский институт инженеров железнодорожного транспорта им. Ф. М. Селиванова
Ленинград

№ п/п	Наименование	Формулы и обозначения	Ед. изм.	$l_n = 23,6 м$ $l_p = 22,9 м$
Расчет на местные напряжения				
I Исходные данные				
1	Площадь сечения одного пучка	f_n	см ²	4,7
2	Диаметр пучка	D	см	4,0
3	Диаметр каркасно-стержневого анкера	$D_{ан}$	"	7,8
4	Площадь сечения одного анкера	$F_{ан}$	см ²	50
5	Длина сцепления проволоки без анкера	l	см	40
6	Длина сцепления пучка из 24 пров. $\phi 5$	$l_0 = \frac{8 \cdot f_n}{\pi^2 (D-d)} d$	"	101
7	Отношение длины сцепления пучка к высоте балки	$\frac{l_0}{h}$	—	0,545
8	Расстояние от опорной площадки анкера до конца участка сцепления	l_1	см	66
9	Полное усилие в одном пучке верхнем, полигональном, нижнем	$N_в \quad N_п \quad N_н$	Т	38,8; 50,9; 49,6
10	Доля усилия, передающаяся через анкер (для нижних пучков)	$N_{ан} = \frac{1}{1+35 \frac{l_1}{l_0}} \frac{F_{ан}}{F_n} N$	Т	7,55
11	Максимальные напряжения сцепления	$\sigma_s = \frac{d}{2 \cdot l_0 \cdot f_n} (N - N_{ан}) \leq 30$	кг/см ²	21,3 \leq 30
II Напряжения и усилия в сечениях, ограничивающих расчетный блок (от полного усилия предварительного напряжения)				
12	Нормальные напряжения в бетоне в сечении I-I	σ_1	кг/см ²	129,8
		σ_2		101,6
		σ_3		68,5
		σ_4		29,3
		σ_5		20,2
13	Сдвигающие напряжения в бетоне в сечении I-I	τ_1	кг/см ²	8,9
		τ_2		8,9
		τ_3		9,7
14	Положение горизонтального сечения А-А	a	см	47
15	Напряжения в бетоне в сечении I-I по линии А-А	σ_a σ_a'	кг/см ²	101,6 8,9
16	Изгибающий момент равнодействующих участков, отсеченной части блока относительно сеч. А-А	$\Sigma N_e' \cdot y_{e1}$	ТМ	141,2
17	Равнодействующая эпюры τ_{xy} в пределах отсеченной части блока	Q'	Т	8,05
18	Уравновешивающий изгибающий момент в сечении А-А	$M_{ан} = \Sigma N_e' y_{e1} + a' h/2 + \Sigma N_e' y_{e2} \cos \alpha_i + \Sigma N_i d_i \sin \alpha_i$	ТМ	21,2
19	Уравновешивающая нормальная сила в сечении А-А	$R_{ан} = \Sigma N_i \sin \alpha_i - Q'$	Т	8,05



- Примечания:**
1. Расчет на местные напряжения выполнен в соответствии с техническими указаниями по расчету местных напряжений в предварительно напряженных железобетонных конструкциях мостов (ВСН 44-60 Минтрансстрой СССР).
 2. Величина расчетного сопротивления бетона на срез принята по примеру расчета №5 ВСН 44-60 ($R_{ср} = 30 \text{ кг/см}^2$).
 3. Допускаемое напряжение в арматуре $[\sigma] = 700 \text{ кг/см}^2$ принято в соответствии с п. 46 ВСН 44-60.
 4. При расчете усилий, как от анкеров, так и от сцепления, длина концевой части принята равной высоте h . При этом части усилия $M_{ан}$, $R_{ан}$, $M_{сч}$, $R_{сч}$ определялись пропорционально $N_{ан}$ и $N_{сч}$.
 5. Расчет на максимальные нормальные напряжения σ_y произведен только для одного сечения, в котором

№ п/п	Наименование	Формулы и обозначения	Ед. изм.	$l_n = 23,6 м$ $l_p = 22,9 м$	
III Части уравновешивающих усилий в сечении А-А, передающиеся через анкера и через сцепление.					
20	Части усилий, передающиеся через анкера	Изгибающий момент	$M_{ан} = M_{А-А} \frac{N_{ан}}{N}$	ТМ	3,23
		Нормальная сила	$R_{ан} = R_{А-А} \frac{N_{ан}}{N}$	Т	1,22
21	Части усилий, передающиеся через сцепление	Изгибающий момент	$M_{сч} = M_{А-А} - M_{ан}$	ТМ	18,0
		Нормальная сила	$R_{сч} = R_{А-А} - R_{ан}$	Т	6,83
IV Местные напряжения в сечении А-А					
22	Ширина блока в сечении А-А	b	см		
23	Нормальные напряжения в бетоне по сечению А-А	$\sigma_y = \frac{M_{ан}}{b h^2} \cdot K_1 + \frac{R_{ан}}{b h} \cdot K_2 + \frac{M_{сч}}{b h^2} \cdot K_3 + \frac{R_{сч}}{b h} \cdot K_4$	кг/см ²		
V Подбор сечения арматуры и проверка прочности					
24	Длина растянутой зоны бетона	x	см	56,3	
25	Поперечная растягивающая сила (объем эпюры σ_y)	$N_{А-А}$	Т	28,05	
26	Требуемая площадь арматуры при допуске напряжении $[\sigma] = 700 \text{ кг/см}^2$	$F_{a TP} = \frac{N_{А-А}}{700}$	см ²	40,0	
27	Принятое количество стержней и их диаметров в мм	—	—	28 $\phi 16 \text{ А-II}$	
28	Площадь сечения принятой арматуры	F_a	см ²	56,28	
29	Усилие, воспринимаемое принятой армат.	$N_a = F_a \cdot 700$	Т	39,5	
30	Проверка прочности	$\frac{N_a}{N_{А-А}} \geq 1,00$	—	1,41	

уравновешивающая сдвигающая сила $T=0$, а уравновешивающий изгибающий момент $M=M_{ан}$. Положение этого сечения определялось интерационным методом.

6. Положение горизонтального сечения А-А относительно нижней грани блока (a), в котором уравновешивающая сдвигающая сила $T_{А-А}=0$, определяется из уравнения: $T_{А-А} = -\Sigma N_i' + \Sigma N_i \cos \alpha_i = 0$; где:

- N_e' - равнодействующие участков эпюры σ_x в пределах нижней, отсеченной сечением А-А части блока.
- N_i - усилия в пучках, пересекающих отсеченную часть блока.
- d_i - угол наклона пучков к горизонтальной оси.
- Q' - равнодействующие участков эпюры τ_{xy} в пределах нижней отсеченной сечением А-А части блока.

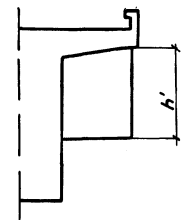
Инв. № 229633 Шифр 1655
 Проект откорректирован в 1974 г.
 Проектировщик: Давыдов В.И., Прохоров В.И., Шифр 1655
 Проверенный: Шифр 1655
 Утвержденный: Шифр 1655
 Расчетчик: Шифр 1655
 Конструктор: Шифр 1655
 Машинист: Шифр 1655
 Копировщик: Шифр 1655
 Вспомогательный: Шифр 1655
 Материальный: Шифр 1655
 Технический: Шифр 1655
 Проект: Шифр 1655
 Проверенный: Шифр 1655
 Утвержденный: Шифр 1655
 Ленинградская г. Ленинград

Расчет диафрагмы

I Определение прочности диафрагм из условия перегруза балок

§1. Основные данные промежуточной диафрагмы

№№ п/п	Обозначения и наименования	Ед.изм.	Величины
1	b	см	24
2	h'	"	116,7
3	$[\sigma]$	кг/см ²	20

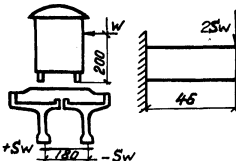


§2. Усилия, нагрузки и коэффициент прочности			
5	Усилие, воспринимаемое диафрагмой	т	56
6	Перерезывающая сила от временной нагрузки	"	154,6
7	Перегруз балок при установке на кривой % 8,5	"	13,3
8	Коэффициент запаса прочности диафрагм	-	4,2

II Определение напряжений в диафрагмах при действии ветра

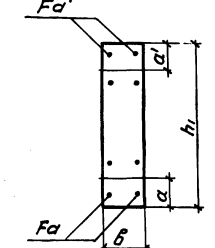
§3. Расчетные нагрузки и усилия

9	Нагрузки от ветра при нахождении поезда на пролетном строении	т	12,73
10	Опрокидывающий момент от ветровой нагрузки	тм	12,73
11	Усилие на балку от действия ветровой нагрузки (S_w)	т	7,07
12	Расчетная величина перегруза ($K_3 \cdot 2$)	"	14,14
13	Максимальный момент в заделке <small>(23 м * 0,46)</small>	тм	6,5



§4. Основные данные при расчете торцевых диафрагм на изгиб

14	h_1	см	119
15	α'	"	28
16	α	"	28
17	$F_{a'}$	см ²	20,8
18	F_a	"	20,8
19	m	-	6,0
20	h_0	см	91,0
21	$x = \frac{m(F_{a'} + F_a)l}{8} (-1 + \sqrt{1 + \frac{28(S_w h_0 + F_a l^2)}{m(F_{a'} + F_a)^2}})$	"	26
22	$z = h - \frac{x}{3}$	"	82,3



§5. Напряжения

23	Напряжения в арматуре	ба' ба	кг/см ²	379,0
24	Напряжения в бетоне	бб	"	25,4

III Расчет стыка диафрагм

§6. Определение размеров соединительной планки и напряжений в сварных швах

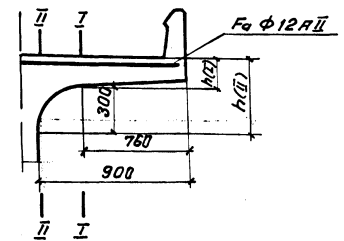
25	Необходимая площадь планки	$\frac{S_w}{\sigma_{ш}}$	см ²	9,3
----	----------------------------	--------------------------	-----------------	-----

Расчет диафрагмы

№№ п/п	Обозначения и наименования	Ед.изм.	Величины
26	Принятая площадь планки в проекте	см ²	540
27	Определение напряжений в сварных швах стыка от действия ветровой нагрузки	$\sigma = \frac{S_w}{0,7 \cdot h \cdot e \cdot n}$	кг/см ² 117
28	Напряжения в сварных швах от постоянной и временной нагрузки	$\sigma = \frac{Q}{0,7 \cdot h \cdot e \cdot n}$	кг/см ² 728

Расчет плиты

№	Наименование	Формулы или обозначения	Ед.изм.		Величина	
			I-I	II-II		
1	Расчетные нагрузки	от собственного веса консоли	q_k	т/м	0,759	0,935
2		от веса балласта с частями пути	q_d	"	0,658	0,858
3		от временной нагрузки	$q_{вр}$	"	6,208	9,37
4	Расчетные усилия при расчете на прочность	от собственного веса консоли	M_k	тм	0,569	0,738
		от веса балласта с частями пути	M_d	"	0,183	0,359
		от временной нагрузки	$M_{вр}$	"	1,914	3,48
5	Высота сечения	h	см	22	42	
6	Рабочая высота	h_0	"	19,3	39,3	
7	Положение нейтральной оси	$x = h_0 \sqrt{h_0^2 - \frac{2M}{R_{уб} b}}$	"	1,322	1,322	
8	Изгибающий момент внутренних сил	$M = R_{уб} b x (h_0 - \frac{x}{2})$	тм	5,05	10,5	
9	Отношение моментов при расчете на прочность	$\frac{M_1}{M}$	"	1,9	2,31	
10	Момент при расчете на выносливость	$M = (q_k + q_d + q_{вр}) \frac{e_0^2}{2}$	тм	2,27	3,78	
11	Высота сжатой зоны при расчете на выносливость	$x = \frac{0,55 e_0}{b} (1 + \sqrt{1 + \frac{28 M_1}{M}})$	см	6,57	9,97	
12	Плеcho внутренней пары сил	$Z = h_0 - \frac{x}{3}$	см	17,11	35,98	
13	Напряжения в арматуре	$\sigma_a = \frac{M}{F_a Z}$	кг/см ²	1170 < 1700-1791,06	930 < 1700-115,06	
14	Напряжения в бетоне	$\sigma_b = \frac{M}{F_b Z}$	кг/см ²	40,3 < 160-1095	21,1 < 160-1075	



Расположение расчетных сечений

Сварные пролетные строения из предварительно напряженного железобетона длиной 16,5 - 27,5 м для железнодорожных мостов. Пролетное строение длиной 23,5 м.

Расчетный лист. Расчет плиты и диафрагмы.

556/14-25

Выпуск 4 Лист 22